# Sintesis CaTiO<sub>3</sub> Berbasis Limbah Cangkang Telur Bebek Untuk Aplikasi Sel Surya

### <sup>1</sup>Al Jalali Muhammad, <sup>2</sup>Wa Ode Sitti Ilmawati, <sup>3</sup>Aslan Ndita

Jurusan Fisika, Univ. Halu Oleo, Kota Kendari
Jurusan Teknik Geofisika, Univ. Halu Oleo, Kota Kendari
<u>aljalalimuhammad@uho.ac.id</u>, <u>awaodesittiilmawati@gmail.com</u>, <u>aslanndita@gmail.com</u>

Abstract - Duck's eggshell is one type of organic waste that has not been used optimally. Duck eggshell contain CaCO<sub>3</sub> as a CaO source, so they are potentially processed as CaTiO<sub>3</sub>. In this study we investigate the effect of sintering temperature on morphology and phase of CaTiO<sub>3</sub>. The sintering temperatures were used in this research from 800, 900 and 1000°C for 4 hours. SEM (Scanning Electron Microscopy) analysis show that there was the different of morphology properties to masingmasing samples. Homogeneity of CaTiO<sub>3</sub> particles can be seen from spherical distribution of CaTiO3 particles, especially at 800°C. In this research was found orthorombic crystal structure of CaTiO<sub>3</sub> to each sintering temperatures. According to the XRD (X Ray Diffraction) patterns, it can be seen that there was a mirip patterns to masing-masing samples. Each peaks of CaTiO<sub>3</sub> that formed on 2<sub>\textcoremo</sub> (23,329°; 29,960°; 33,152°; 40,990°; 47,568°; and 49,211°) have the growth orientations respectively are (400), (510), (440), (444), (800), and (820). Particle size at sintering temperature of 800, 900 and 1000°C respectively are 43,60438 nm, 33,43218 nm, and 29,35699 nm). The results of UV-Vis (Ultra Violet-Visible) analysis show that the lowest gap energy of CaTiO<sub>3</sub> was obtained at 800 °C heating, which was 2.96 eV.

#### Keywords — CaTiO<sub>3</sub>, Sintering Temperatures, SEM, XRD

Abstrak — Cangkang telur bebek merupakan salah satu jenis limbah organik yang belum dimanfaatkan secara optimal. Cangkang telur bebek mengandung CaCO<sup>3</sup> sebagai sumber CaO, sehingga berpotensi diolah menjadi CaTiO<sub>3</sub>. Pada kajian ini kami mengamati pengaruh temperatur terhadap struktur morfologi dan fasa CaTiO3. Temperatur sintering yang digunakan bervariasi pada 800, 900, dan 1000°C selama 4 jam. Analisis SEM (Scanning Electron Microscopy) menunjukkan adanya perbedaan sifat morfologi pada setiap sampel. Homogenitas partikel CaTiO3 dapat dilihat dari distribusi partikel CaTiO3 yang berbentuk bola, terutama pada 800°C. Dalam penelitian ini, ditemukan struktur kristal ortorombik CaTiO<sub>3</sub> pada setiap temperatur sintering. Berdasarkan pola XRD (X Ray Difraction), dapat dilihat bahwa terdapat pola yang serupa pada setiap sampel. Setiap puncak CaTiO<sub>3</sub> yang terbentuk pada 2 (23,329°; 29,960°; 33,152°; 40,990°; 47,568°; dan 49,211°) memiliki orientasi

pertumbuhan masing-masing (400), (510), (440), (444), (800), dan (820). Ukuran partikel pada temperatur sintering 800, 900, dan 1000°C masing-masing adalah 43,60438 nm, 33,43218 nm, dan 29,35699 nm. Hasil analisis UV-Vis (*Ultra-Violet Visible*menunjukan bahwa energi gap terendah CaTiO<sub>3</sub> diperoleh pada pemanasan 800 °C yaitu sebesar 2.96 eV.

ISSN (Online): 2656-081X

Kata Kunci—CaTiO<sub>3</sub>, Temperatur Sintering, SEM, XRD, UV-Vis

#### I. Pendahuluan

CaTiO<sub>3</sub> atau kalsium titanat adalah material perovskit dengan rumus ABX3. Pada strukturnya, ion A terletak di bagian kubus-oktahedral, ion B di posisi oktahedral, dan X berperan sebagai ion halide [1]. CaTiO<sub>3</sub> memiliki sifat unggul seperti stabilitas kimia, optik, ferroelektrik, konstan dielektrik tinggi, biaya rendah, kerugian dielektrik moderat, dan sifat ramah lingkungan [2], [3]. CaTiO₃ telah digunakan dalam berbagai aplikasi termasuk optik, elektronik, katalitik, dan biologi. CaTiO3 sangat menarik untuk diteliti karena sifat semikonduktor, ferroelektrik, listrik, dan optiknya. Selain itu, sebagian besar penelitian fokus pada sifat optiknya untuk aplikasi sel surva [4]. Selain meneliti sifat CaTiO<sub>3</sub>, banyak peneliti telah melaporkan metode sintesis partikel CaTiO<sub>3</sub>. Metode sintesis partikel CaTiO<sub>3</sub> meliputi mekanokimia, dekomposisi termal, penggilingan bola berenergi tinggi, ko-presipitasi kimia, alloy mekanik, hidrotermal, dan metode mikrowave[2].

Baru-baru ini, metode baru untuk sintesis material CaTiO<sub>3</sub> dilaporkan. Reaksi padat pada temperatur tinggi merupakan solusi baru untuk sintesis CaTiO<sub>3</sub> dari bahan padat. Metode ini dilakukan dengan metode ball milling. Menurut metode reaksi padat, para peneliti mensintesis CaTiO<sub>3</sub> menggunakan campuran kalsium karbonat (CaCO<sub>3</sub>), kalsium oksida (CaO), dan titanium oksida (TiO<sup>2</sup>) [5], [6], [7], [8]. Peneliti lain meneliti sifat struktural, morfologis, dielektrik, listrik, dan optik. Untuk sifat optik, mereka menemukan energi celah pita CaTiO<sub>3</sub> dalam rentang 3,4 – 3,9 eV [9], [10].

Beberapa peneliti melaporkan bahan alami sebagai sumber CaCO3 atau CaO, seperti cangkang telur bebek untuk menghasilkan CaTiO3 melalui reaksi padat dengan TiO2 [1], [11]. Penggunaan cangkang telur bebek sebagai sumber

CaCO3 atau CaO merupakan alternatif bahan untuk mengatasi keterbatasan pasokan CaO atau CaCO3 komersial. Cangkang telur dan cangkang hewan lainnya diketahui memiliki kandungan kalsium yang tinggi, yang dapat dimanfaatkan untuk mensintesis bahan fungsional berbasis senyawa kalsium. Ketersediaan cangkang sangat melimpah dan mudah diperoleh, bahkan hanya sebagai limbah yang belum dimanfaatkan [11]. Komposisi utama cangkang telur adalah CaCO3 sebesar 94% dari berat total cangkang, fosfat kalsium (1%), bahan organik (4%), dan karbonat magnesium (1%) [12]. Efek sintering pada temperatur tinggi terlihat pada sifat optik CaTiO3 yang berbeda dengan sumber CaCO3 dari cangkang telur bebek [4], [11]. Sintesis CaTiO<sub>3</sub> dari limbah telur bebek sudah lama ditinggalkan. Namun, baru-baru ini terdapat laporan pembuatan CaTiO<sub>3</sub> sebagai bahan dielektrik. Pada penelitian ini laporan dibatasi pada bentuk morfologi CaTiO<sub>3</sub>. Tidak terdapat laporan mengenai energi gap CaTiO<sub>3</sub> [13]. Laporan tersebut menginisiasi peneliti untuk Kembali mengkaji pembuatan CaTiO<sub>3</sub> berbasis limbah lokal.

Penelitian ini menggunakan cangkang telur bebek sebagai sumber CaO. Partikel CaO dihasilkan dengan memanfaatkan CaCO3 dari limbah cangkang telur bebek. Dengan memanfaatkan bahan baku dari limbah cangkang telur, biaya sintesis CaTiO3 dapat dikurangi. Penggunaan cangkang telur sebagai bahan baku untuk mensintesis CaTiO3 didasarkan pada kandungan kalsium dalam cangkang telur dan ketersediaannya yang melimpah [11]. Dengan memanaskan CaCO3, kita dapat menghasilkan CaO sebagai sumber sampel. Campuran CaO dan TiO2 direaksikan untuk membentuk CaTiO3.

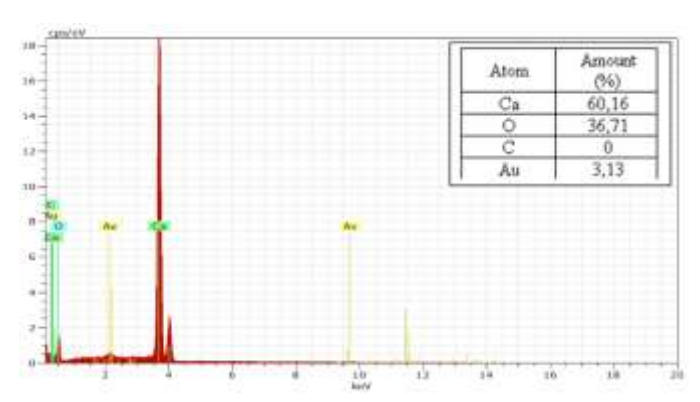
#### II. Metode Penelitian

## A. Pembuatan Kalsium Oksida (CaO) dari CaCO<sub>3</sub> dari Cangkang Telur Bebek

Cangkang telur bebek yang diperoleh dari limbah terlebih dahulu dicuci hingga bersih, kemudian dikeringkan. Setelah itu, cangkang yang sudah bersih dipanaskan pada temperatur 130°C selama 3 jam untuk memperoleh kalsium karbonat (CaCO3) murni. Selanjutnya, CaCO3 murni tersebut digiling hingga berbentuk serbuk dengan ukuran 200 mesh. Serbuk yang dihasilkan kemudian dikalsinasi pada temperatur 900°C selama 4 jam sehingga terbentuk kalsium oksida (CaO). Pada tahap ini terjadi pelepasan CO2 mengikuti persamaan 1.

$$CaCO_3 = CaO + CO_2 (menguap)....(1)$$

Gambar 1 memperlihatkan hasil analisis EDX CaO yang diperoleh pada tahap ini. Terlihat bahwa kandungan Ca, O dan C secara berturut-turut adalah 60,16; 36,71; dan 0%. Dari hasil ini terdeteksi kandungan Au. Kandungan Au dikonfirmasi berasal dari coating sampel sebelum karakterisasi menggunakan alat SEM/EDX.



Gambar 1. Hasil analisis EDX CaO yang diperoleh dari pemanasan CaCO<sub>3</sub> pada temperatur 900°C selama 4 jam.

#### B. Sintesis Material CaTiO<sub>3</sub>

Serbuk CaO yang diperoleh dari cangkang telur bebek direaksikan dengan TiO<sub>2</sub> (Anatase) melalui metode solid state reaction. Secara stoikiometri, sebanyak 6.3 gr CaO dicampurkan dengan 8.7 gr TiO<sub>2</sub>. Campuran serbuk CaO dan TiO<sub>2</sub> ditambahkan 10 ml etanol, kemudian digiling menggunakan ball mill selama 20 jam. Penggilingan selama 20 J dimaksudkan untuk menjadikan sampel tercampur secara merata. Setelah itu, campuran dikeringkan pada temperatur 100°C selama 1 lalu disinter menggunakan pemanasan konvensional pada temperatur 800, 900, dan 1000°C selama 4 jam. Reaksi pembentukan CaTiO<sub>3</sub> mengikuti persamaan 2. CaTiO<sub>3</sub> kemudian dianalisis menggunakan alat SEM (Scanning Electron Microscopy), XRD (X Ray Difraction) dan UV-Vis (Ultra Violet-Visible).

$$CaO + TiO2 = CaTiO3 .....(2)$$

Diagram alir sintesis CaTiO<sub>3</sub> dapat dilihat pada diagram 1.

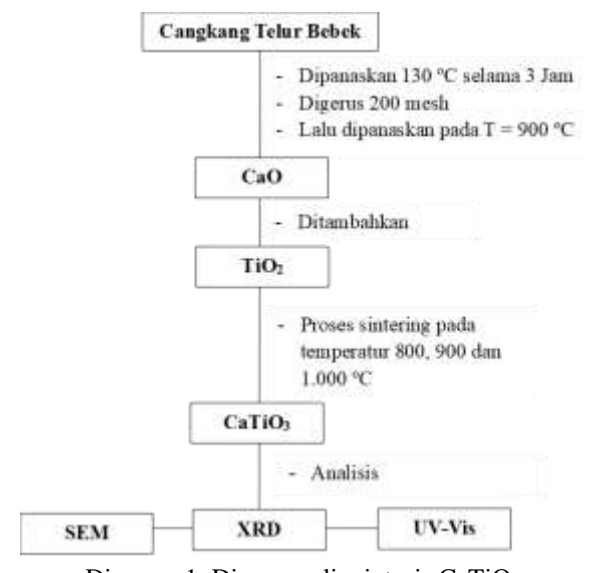
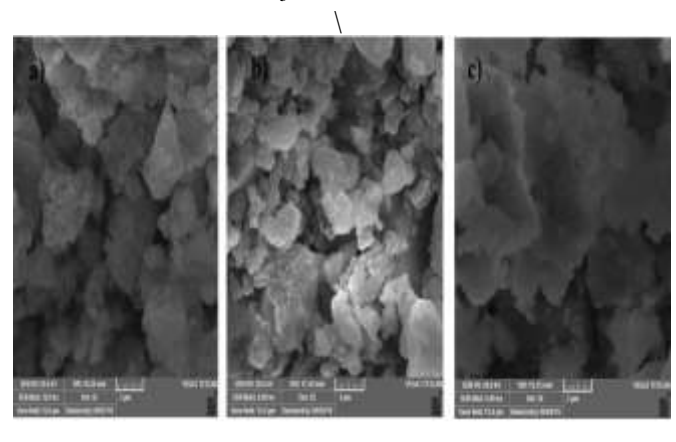


Diagram 1. Diagram alir sintesis  $CaTiO_3$ 

#### III. Hasil dan Pembahasan

#### A Analisis SEM CaTiO<sub>3</sub>



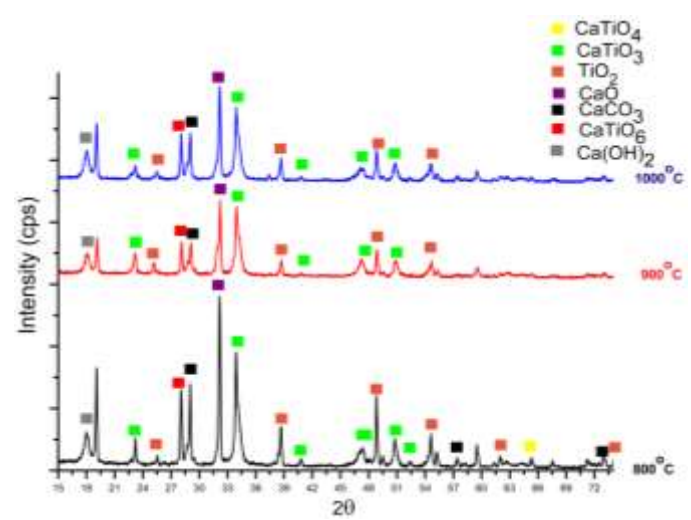
Gambar 2. Bentuk morfologi  $CaTiO_3$  yang dianalisis menggunakan alat SEM; a) Temperatur Sintering 800°C, b) Temperatur Sintering 900°C, c) Temperatur Sintering 1.000°C

Hasil sintering ditunjukkan pada Gambar 2a-2c. Berdasarkan karakterisasi SEM, terlihat bahwa partikel CaTiO<sub>3</sub> yang terbentuk memiliki morfologi berbentuk bulat. Proses sintering terbukti mampu meningkatkan homogenitas partikel, yang ditunjukkan oleh distribusi partikel CaTiO<sub>3</sub> yang lebih seragam, terutama pada temperatur 800°C. Partikel CaTiO<sub>3</sub> pada temperatur sintering 800°C tampak lebih terbentuk dibandingkan dengan temperatur 900°C dan 1000°C. Hasil ini juga menunjukan bahwa peningkatan temperatur sintering memberikan pengaruh yang signifikan terhadap luas permukaan partikel. Semakin tinggi temperatur sintering, luas permukaan partikel CaTiO3 semakin meningkat. Hal ini disebabkan oleh pemanasan yang tinggi, yang pada gilirannya menurunkan ukuran partikel. Selain itu, faktor lain yang menyebabkan mengecilnya ukuran partikel adalah penggunaan CaO yang berasal dari CaCO3 pada cangkang telur bebek sebagai bahan baku dalam sintesis CaTiO<sub>3</sub>. Pada proses pemanasan, senyawa organik lain yang terdapat dalam cangkang telur bebek menguap, sehingga partikel yang terbentuk menjadi lebih kecil dan luas permukaannya meningkat.

#### B. Hasil Analisis XRD CaTiO<sub>3</sub>

Pola difraksi hasil pengukuran dengan X-ray Diffraction (XRD) untuk sampel CaTiO<sub>3</sub> pada temperatur sintering 800, 900, dan 1000°C ditampilkan pada Gambar 3. Berdasarkan hasil tersebut, terlihat bahwa ketiga sampel menunjukkan pola difraksi yang relatif serupa. Pada temperatur sintering 800°C telah terbentuk fase CaTiO<sub>3</sub> dengan struktur kristal ortorombik. Fase ortorombik ini

sesuai dengan hasil penelitian Torimbutun [4], yang juga berhasil mensintesis CaTiO3 dengan struktur kristal serupa. Adapun parameter kisi dari struktur kristal ortorombik yang diperoleh adalah a = 0.54043 nm, b = 0.54424 nm, dan c =0,76510 nm. Kristal CaTiO<sub>3</sub> dengan struktur ortorombik juga terbentuk pada temperatur sintering 900°C dan 1000°C. Pada temperatur 900°C, parameter kisi yang diperoleh adalah a = 0.53809 nm, b = 0.54371 nm, dan c = 0.76428 nm. Sementara itu, pada temperatur 1000°C parameter kisi sedikit berubah menjadi a = 0.53800 nm, b = 0.54400 nm, dan c = 0.76390nm, namun tetap menunjukkan struktur kristal ortorombik (Tabel 1). Puncak difraksi CaTiO<sub>3</sub> terdeteksi pada 2θ = 23,329°; 29,960°; 33,152°; 40,990°; 47,568°; dan 49,211°, masing-masing berasosiasi dengan bidang kristal (400), (510), (440), (444), (800), dan (820). Pola difraksi ini mengindikasikan bahwa fase CaTiO3 berhasil terbentuk pada ketiga temperatur sintering, yaitu 800°C, 900°C, dan 1000°C, dengan puncak-puncak yang konsisten pada setiap sampel. Selain puncak utama CaTiO<sub>3</sub>, masih ditemukan sisa reaksi berupa CaO, CaCO<sub>3</sub>, dan TiO<sub>2</sub>. Pada hasil ini terdeteksi struktur kristal Ca(OH)2. Kontaminan ini kemungkinan terbentuk akibat reaksi CaO atau CaCO3 dengan pelarut etanol selama proses persiapan sampel.



Gambar 3. Grafik pola difraksi sampel CaTiO<sub>3</sub> pada temperatur sintering 800, 900 dan 1000°C.

Tabel 1. Parameter kisi dan ukuran kristal CaTiO<sub>3</sub> yang dipanaskan pada temperatur 800, 900 dan 1.000 °C.

			Y 71	G . 1 .	
T	Parameter Kisi (nm)			Ukuran	Struktur
(°C)	a	b	С	Kristal	Kristal
				(nm)	
800	0,54043	0,54424	0,76510	43,60438	Ortorombik
900	0,53809	0,54371	0,76428	33,43218	Ortorombik
1000	0,53800	0,54400	0,76390	29,35699	Ortorombik

Berdasarkan Gambar 3, terlihat adanya penurunan intensitas puncak difraksi pada sampel yang disinter pada temperatur 900°C dan 1000°C. Penurunan intensitas ini

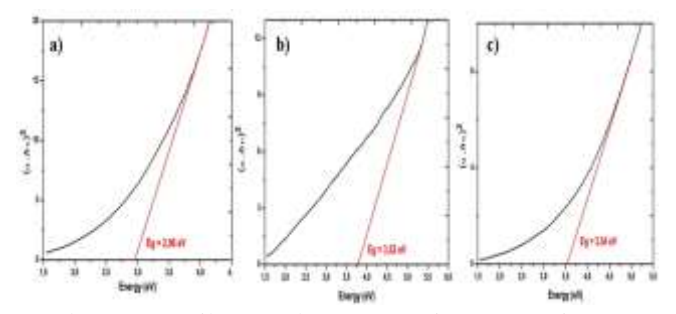
mengindikasikan terjadinya pengurangan ukuran kristal. Dalam penelitian ini, ukuran kristal CaTiO<sub>3</sub> cenderung menurun seiring dengan meningkatnya temperatur sintering. Perhitungan ukuran kristal dilakukan menggunakan Persamaan Scherrer [10], yaitu:

$$D = \frac{\kappa \lambda}{B \cos \theta} \tag{3}$$

Menurut persamaan Scherrer, ukuran kristal pada temperatur sintering 800°C, 900°C, dan 1000°C masing-masing adalah 43,60438 nm, 33,43218 nm, dan 29,35699 nm (Tabel 1). Penurunan ukuran kristal sesuai dengan hasil dari Gambar 2. Ukuran kristal yang lebih kecil disebabkan oleh difusi atom yang menjadi lebih cepat seiring dengan peningkatan temperatur sintering [14]. Selain itu, penurunan ukuran kristal juga diduga disebabkan oleh adanya percepatan laju pertumbuhan inti kristal pada temperatur tinggi, dimana pada temperatur yang semakin tinggi semakin banyak inti kristal yang terbentuk sehingga semakin memperkecil ukuran kristal.

#### C. Analisis UV-Vis CaTiO<sub>3</sub>

Gambar 4 menunjukkan pengukuran energi gap dari sample CaTiO<sub>3</sub> yang telah disinter pada temperatur 800, 900 dan 1.000 °C. Terlihat bahwa nilai energi gap beruturit-turut untuk temperatur sintering 800-1000 °C berturut-turut adalah 2,96; 3,52; Sn 3,54 eV. Terlihat bahwa semakin tinggi temperatur sintering, maka energi gap CaTiO<sub>3</sub> semakin meningkat. Hal ini dikarenakan bahwa semakin tinggi temperatur sintering, maka ukuran partikel akan semakin mengecil yang diakibatkan oleh banyaknya terbentuk inti-inti baru. Hal ini menyebabkan ruang gerak elektron menjadi lebih sempit, hal ini menyebabkan tingginya kebutuhan energi untuk memindahkan elektron dari pita valensi ke pita konduksi.



Gambar 4. Hasil pengukuran energi gap  $CaTiO_3$  yang dilakukan dengan metode tauc plot, a) Temperatur Sintering  $800^{\circ}C$ , b) Temperatur Sintering  $900^{\circ}C$ , c) Temperatur Sintering  $1.000^{\circ}C$ 

#### III. Kesimpulan

Kami telah berhasil mensintesis perovskit berbasis CaTiO<sub>3</sub> dengan memanfaatkan cangkang telur bebek sebagai sumber CaO. Metode reaksi padat berhasil digunakan untuk menghasilkan CaTiO<sub>3</sub> pada temperatur sintering 800°C, 900°C, dan 1000°C. Ukuran partikel CaTiO<sub>3</sub> berkurang seiring dengan peningkatan temperatur sintering. Ukuran partikel pada temperatur sintering 800, 900, dan 1000°C masing-masing adalah 43,60438 nm, 33,43218 nm, dan 29,35699 nm. Energi gap terendah diperoleh pada CaTiO<sub>3</sub> setelah pemanasan 800 °C yaitu 2.96 eV. Berdasarkan hasil ini, CaTiO<sub>3</sub> yang diperoleh termasuk ke dalam kategori semikonduktor yang sangat menjanjikan untuk aplikasi sel surya.

#### IV. Daftar Pustaka

- [1] S. Cherdchom, T. Rattanaphan, and T. Chanadee, "Calcium Titanate from Food Waste: Combustion Synthesis, Sintering, Characterization, and Properties," *Adv. Mater. Sci. Eng.*, vol. 2019, 2019, doi: 10.1155/2019/9639016.
- [2] C. Karthikeyan, M. Thamima, and S. Karuppuchamy, "Dye removal efficiency of perovskite structured CaTiO3 nanospheres prepared by microwave assisted method," *Mater. Today Proc.*, vol. 35, no. January, pp. 44–47, 2019, doi: 10.1016/j.matpr.2019.05.421.
- [3] R. Dhilip Kumar and S. Karuppuchamy, "Facile synthesis of honeycomb structured SnO/SnO2 nanocomposites by microwave irradiation method," *J. Mater. Sci. Mater. Electron.*, vol. 26, no. 9, pp. 6439–6443, 2015, doi: 10.1007/s10854-015-3234-6.
- [4] A. A. A. Torimtubun, A. C. Augusty, E. Maulana, and L. Ernawati, "Affordable and sustainable new generation of solar cells: Calcium titanate (CaTiO 3) Based perovskite solar cells," *E3S Web Conf.*, vol. 67, pp. 1–6, 2018, doi: 10.1051/e3sconf/20186701010.
- [5] G. Pfaff, "Peroxide route to synthesize strontium titanate powders of different composition," *J. Eur. Ceram. Soc.*, vol. 9, no. 2, pp. 121–125, 1992, doi: 10.1016/0955-2219(92)90053-G.
- [6] S. Kawrani, M. Boulos, D. Cornu, and M. Bechelany, "From Synthesis to Applications: Copper Calcium Titanate (CCTO) and its Magnetic and Photocatalytic Properties," *ChemistryOpen*, vol. 8, no. 7, pp. 922–950, 2019, doi: 10.1002/open.201900133.
- [7] K. Wieczorek-Ciurowa, P. Dulian, A. Nosal, and J. Domagała, "Effects of reagents' nature on mechanochemical synthesis of calcium titanate," *J. Therm. Anal. Calorim.*, vol. 101, no. 2, pp. 471–477, 2010, doi: 10.1007/s10973-010-0802-0.
- [8] S. J. Mousavi, "The effect of sintering time on the

- electrical properties of CaTiO3 ceramics," *Dig. J. Nanomater. Biostructures*, vol. 9, no. 3, pp. 1059–1063, 2014.
- [9] N. A. Noor, S. M. Alay-e-Abbas, M. Hassan, I. Mahmood, Z. A. Alahmed, and A. H. Reshak, "The under-pressure behaviour of mechanical, electronic and optical properties of calcium titanate and its ground state thermoelectric response," *Philos. Mag.*, vol. 97, no. 22, pp. 1884–1901, 2017, doi: 10.1080/14786435.2017.1320440.
- [10] K. Manjunath and C. G. Thimmanna, "Studies on Synthesis, Characterization and Applications of Nano CaTiO3 Powder," *Curr. Nanomater.*, vol. 1, no. 2, pp. 145–155, 2016, doi: 10.2174/2405461501666160805125748.
- [11] A. Maddu, L. Permatasari, and A. Arif, "Structural and dielectric properties of CaTiO3 synthesized utilizing Duck's eggshell as a calcium source," *J. Ceram. Process. Res.*, vol. 18, no. 2, pp. 146–150, 2017.
- [12] M. Ketta and E. Tůamová, "Eggshell structure, measurements, and quality-affecting factors in laying hens: A review," *Czech J. Anim. Sci.*, vol. 61, no. 7, pp. 299–309, 2016, doi: 10.17221/46/2015-CJAS.
- [13] H. Zhao, Y. Duan, and X. Sun, "Synthesis and characterization of CaTiO3 particles with controlled shape and size," *New J. Chem.*, vol. 37, no. 4, pp. 986–991, 2013, doi: 10.1039/c3nj40974k.
- [14] Kanchana M., and Tawat C., "Calcium Titanate Ceramics Obtained by Combustion Synthesis and Two-Step Sintering," Science of Sintering, vol. 52 (2020), pp. 491-502, doi.org/10.2298/SOS2004491M
- [15] M. Fathur *et al.*, "Produksi Material Magnesium Oksida Menggunakan Proses Elektrolisis Dengan Jembatan Garam Vertikal Dan Variasi," vol. 13, no. 1, pp. 51–56, 2025.